

Rapport Matlab : Simulation d'une chaîne de transmission numérique sur canal gaussien à bande limitée

Hoël Boëdec
ENSIMAG - ISSC
3 rue Amiral Courbet
Grenoble, France
hoel.boedec@phelma.grenoble-inp.fr

Fournier Mickaël
ENSIMAG - ISSC
22 rue Francis Jaquard
Grenoble, France
mickael.fournier@phelma.grenoble-inp.fr

1. INTRODUCTION

2. GÉNÉRATION ALÉATOIRE DES ÉLÉMENTS BINAIRES

```
N = 2048;  
  
bn = zeros(1, N);  
for k=1:1:length(bn)  
    bn(k) = round(rand());  
end  
  
mean(bn);  
var(bn);
```

La moyenne et la variance empirique de bn valent respectivement 0,5 et 0,25. Ceci est cohérent avec la théorie car 0 et 1 sont équiprobables et indépendants.

3. CONVERSION DES ÉLÉMENTS BINAIRES EN SYMBOLES (MAPPING)

```
an = zeros(1, N);  
for k=1:1:length(bn)  
    an(k) = 2*bn(k)-1;  
end  
  
mean(an);  
var(an);  
  
mean(an.^2);
```

La moyenne et la variance empirique de an valent respectivement 0 et 1. Ceci est cohérent avec la théorie car les symboles sont centrés, équiprobables et indépendants. La puissance moyenne temporelle empirique du vecteur an vaut 1 (unité ??).

```
N = 32;  
D = 10000000; # 1 Mbit/sec
```

```
T = 1/D;  
t_a = 0 : T : N*T - T;  
  
plot(t_a, an, 'x')
```

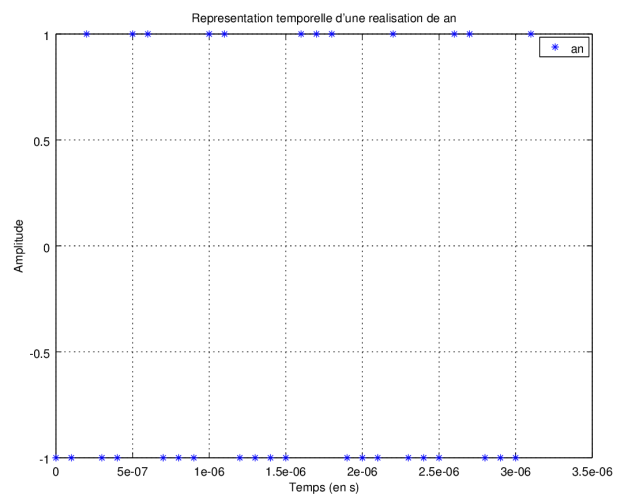


Figure 1: Représentation temporelle d'une réalisation de an

```
plot(real(an), imag(an), 'x')
```

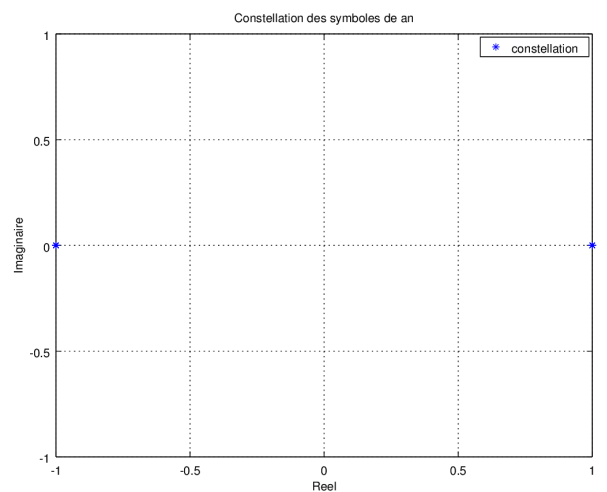


Figure 2: Constellation des symboles de an

4. CONVERSION NUMÉRIQUE - ANALOGIQUE

4.1 Expansion - Question 1

La durée du signal st peut s'écrire : NF/D .

```
N = 32;
F = 16;
st = zeros(1, N*F);
st(1) = F*an(1);
for k=1:length(an)-1
    st(k*F+1) = F*an(k+1);
end
```

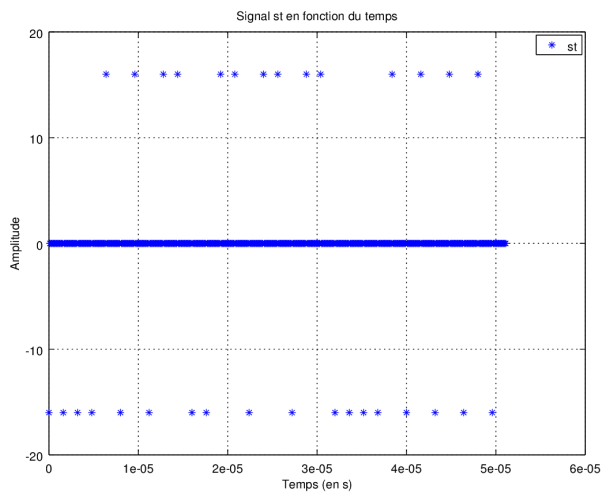


Figure 3: Signal st en fonction du temps

4.2 Etude des filtres - Question 2

```
N = 32;
L = 8;
alpha = 0.5;
Te = T/F;
t_filtre = [0 : T/F : L*T -T/F];
```

4.2.1 NRZ

```
s_t = gen_filters2('nrz',t_filtre,T,F,L,alpha);
plot(t_filtre, s_t, '*')
```

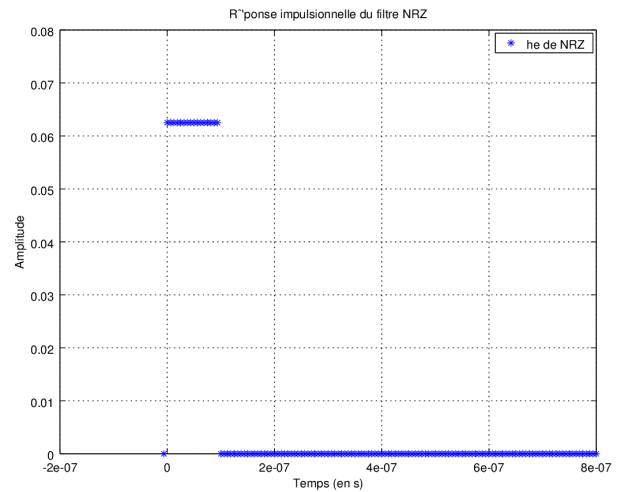


Figure 4: Réponse impulsionnelle du filtre NRZ

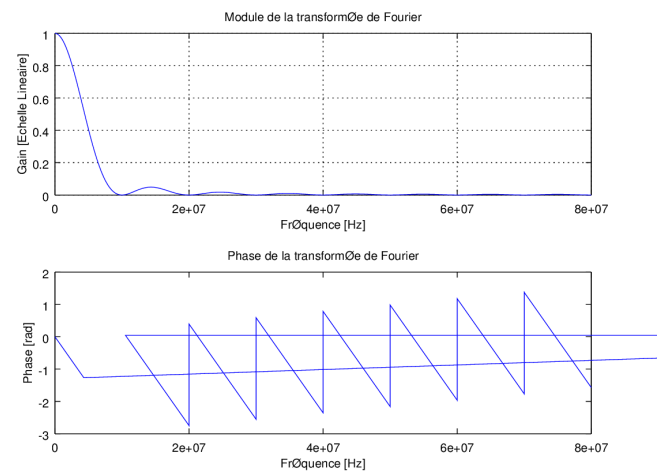


Figure 5: Module de la transformée de Fourier de la réponse impulsionnelle du filtre NRZ

4.2.2 RZ

```
s_t = gen_filters2('rz',t_filtre,T,F,L,alpha);
plot(t_filtre, s_t, '*')
```

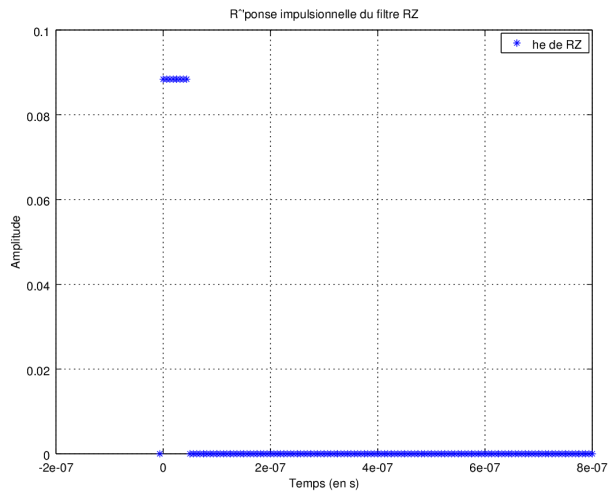


Figure 6: Réponse impulsionnelle du filtre RZ

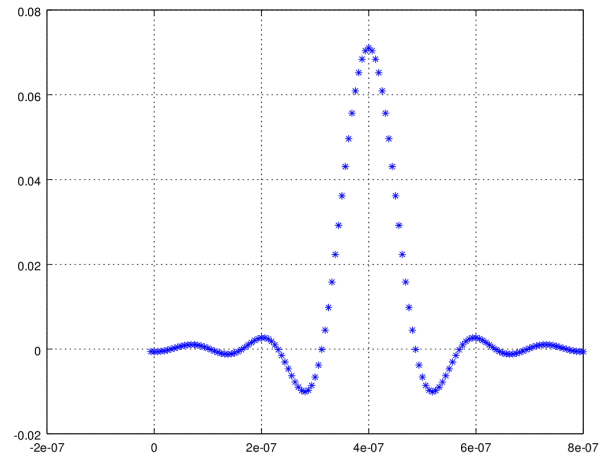


Figure 8: Réponse impulsionnelle du filtre SRRC

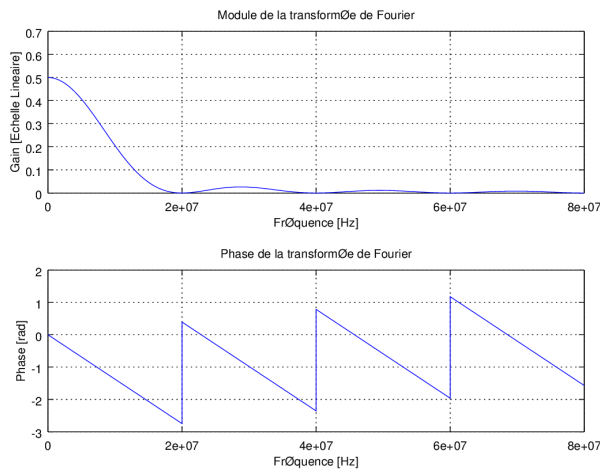


Figure 7: Module de la transformée de Fourier de la réponse impulsionnelle du filtre RZ

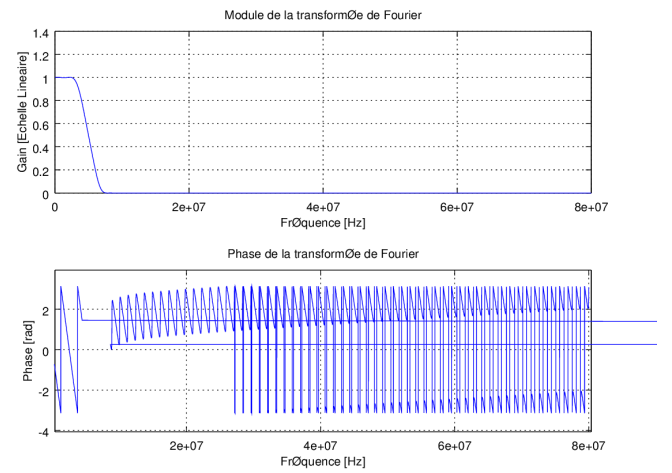


Figure 9: Module de la transformée de Fourier de la réponse impulsionnelle du filtre SRRC

4.2.3 SRRC

```
s_t = gen_filters2('srrc',t_filtre,T,F,L,alpha);
plot(t_filtre, s_t, '*')
```

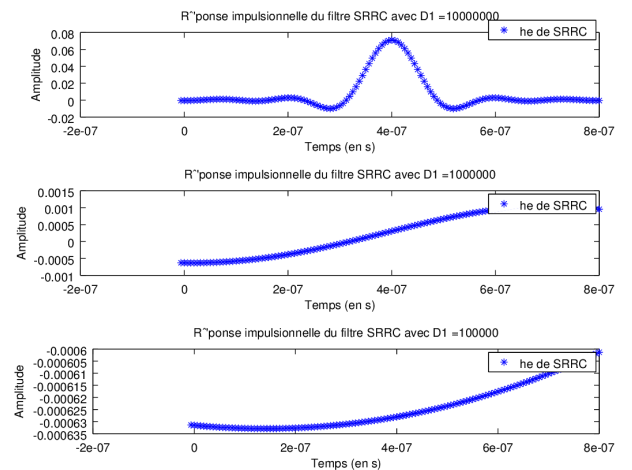


Figure 10: Variation de la réponse impulsionnelle du filtre SRRC avec le débit

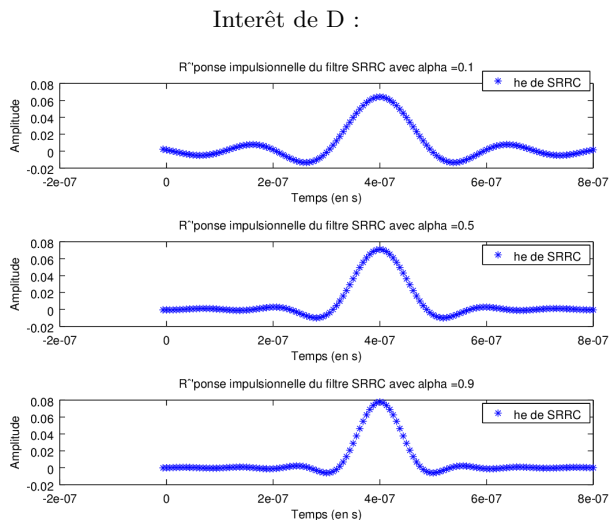


Figure 11: Variation de la réponse impulsionnelle du filtre SRRC avec alpha

Interêt de alpha :

Est-ce logique d'observer une variation de phase linéaire avec la fréquence ?

4.3 Mise en forme des symboles

4.3.1 Question 3

$N = 32$;

```
t_x = -L*F*T/2 : T : (N*F)*T + L*F*T/2;
ht = gen_filters2('srrc',t_filtre,T,F,L,0.5);
xt = conv(st, ht);
figure; subplot(2,1,1); plot(t_s, st, '*');
subplot(2,1,2); plot(t_x, xt);
```

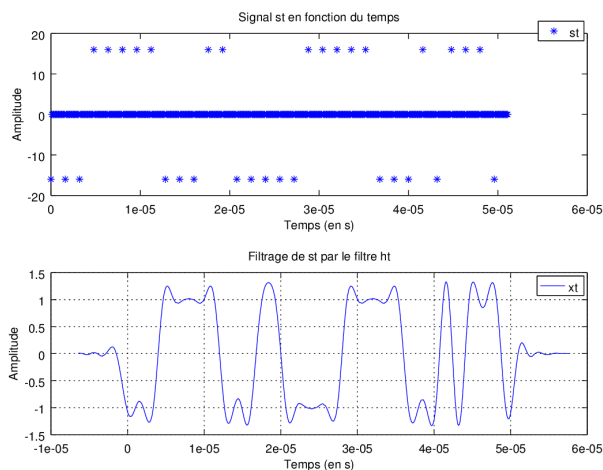


Figure 12: Signal st et son filtrage par ht en fonction du temps

```
length(st)
length(ht)
length(t_x)*T
length(t_filtre)*T
```

Résultats : ans = 512 (16*32) ans = 130 (LF) ans = 6.4100e-05 (cf ts) ans = 1.3000e-05 (cf t_filtre)

4.3.2 Question 4

$N = 2048$;

```
mean(xt.^2)
```

La puissance moyenne empirique du signal émis xt vaut 1. Ceci cohérent avec la théorie car la variance vaut 1 et le norme carrée du filtre d'émission vaut $1/T$ (filtre normalisé).

4.3.3 Question 5

4.3.4 Question 6

5. AJOUT DU BRUIT BLANC GAUSSIEN - QUESTION 7

On sait que $\sigma_{\text{man}}^2 = \frac{N_0 F}{2T}$ or $P(xt) = \frac{Eb}{T}$ d'où la formule $\frac{Eb}{N_0} = \frac{F}{2} \left(\frac{P(xt)}{\sigma_{\text{man}}^2} \right)$.

De plus, on a $P(xt) = 1$ ici, donc $\sigma_{\text{man}}^2 = f\left(\frac{Eb}{N_0}\right)$ avec $f(x) = \frac{F}{2x}$.

$EbN_0 = 100$;

```
sigma_n = sqrt((F/2)/EbN0);
nt=sigma_n*randn(1,length(xt));
rt = xt + nt;
```

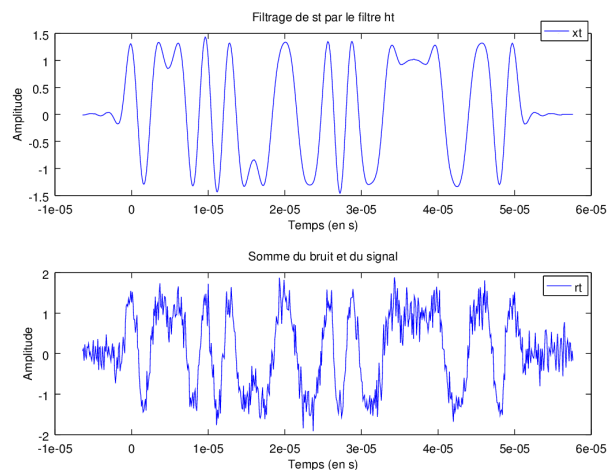


Figure 13: Filtrage de st par le filtre ht et le même signal bruité

6. CONVERSION ANALOGIQUE - NUMÉRIQUE

6.1 Filtrage adapté

6.1.1 Question 8

Définition de filtre adapté :

Justification utilisation filtre adapté dans chaîne de communication :

6.1.2 Question 9

$N = 32$;

```
htr = fliplr(ht+L*T);
plot(t_filtre, ht, '*');
plot(t_filtre, htr, 'r+');
```

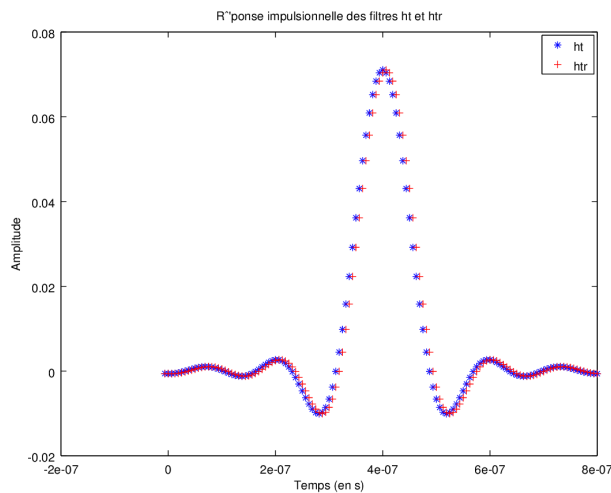


Figure 14: Réponse impulsionnelle des filtres ht et htr

Justifier la forme de la réponse impulsionnelle du filtre adapté $ht(r)$:

```
pt = conv(ht, htr);
t_filtre_pt = [0 : T/F : 2*(L*T + T/F)];
figure; plot(t_filtre, ht, '*'); hold on;
plot(t_filtre_pt, pt, 'r+');
```

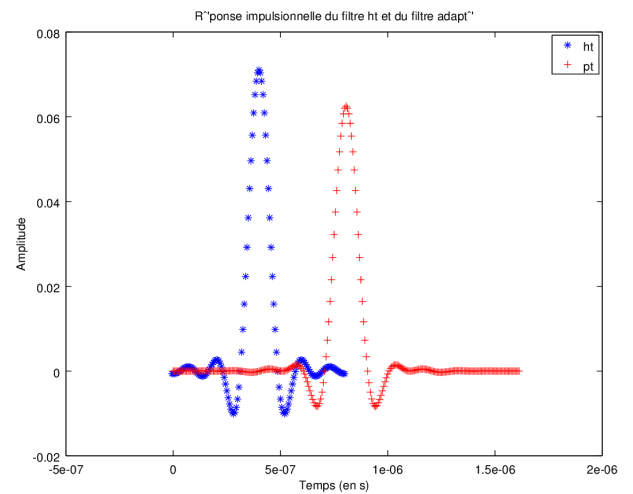


Figure 15: Réponse impulsionnelle du filtre ht et du filtre adapté

Pt est construit comme le retourné décalé de ht. Ici on a choisi LT comme décalage afin que le filtre équivalent émission-réception soit causal.

On sait que le vecteur temps t_filtre_pt vaut le double du vecteur t_filtre par convolution.

6.1.3 Question 10

A l'aide de Matlab on fait créer un vecteurs contenant les valeurs de pt en $t_0 + nT_s$ avec $t_0 = L*T$ et $T_s = T$.

```
vect_result = zeros(1,17);
for k=1:1:8
    vect_result(9-k) = pt(round((L*T-k*T)/(T/F)));
    vect_result(9+k) = pt(round((L*T+k*T)/(T/F)));
end
vect_result(9) = pt(round((L*T)/(T/F)));
t_vect_result = [L*T - 8*T : T : L*T + 8*T];
plot(t_vect_result, vect_result, '*');
```

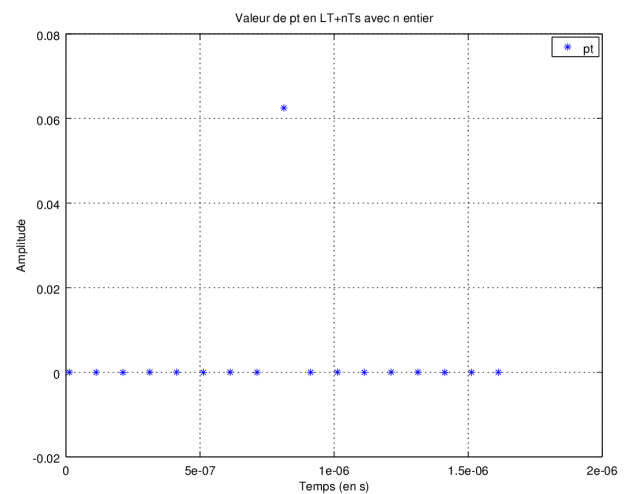


Figure 16: Valeur de p_t en $LT+nTs$ avec n entier

On voit que pour $n \neq 0$ les valeurs de p_t sont bien nulles. On ne peut pas transmettre sans IES car on ne peut atteindre une précision telle que p_t aura une valeur nulle tous les $T + nTs$. Cependant, on peut s'en approcher, et donc minimiser l'IES, en ???.

Diagramme de l'oeil : j'ai un truc mais .. ça m'a pas l'air d'être ça du tout

6.1.4 Question 11

blablablabla

6.2 Décimation

6.2.1 Question 12

cf cours

6.2.2 Question 13

```
t_y = -L*F*T : T : (N*F)*T + L*F*T + T;
yt = conv(rt, htr);
plot(t_x, xt); hold on; plot(t_y, yt, 'r');
```

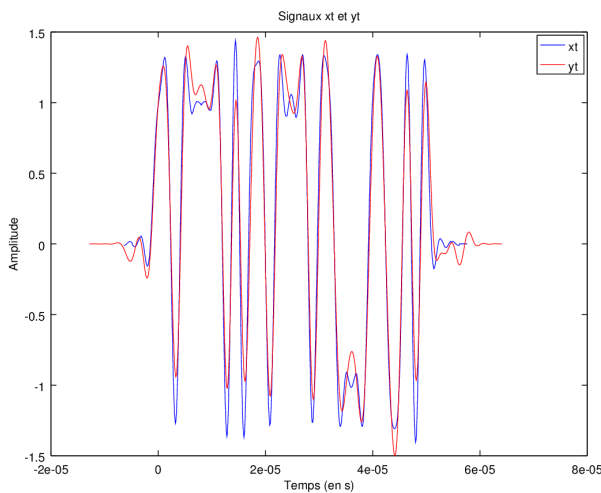


Figure 17: Signaux x_t et y_t

```
yk = [];
for k=1:length(yt)-1
    if mod(k, F) == 0
        && -L*F*T + k*T >= 0
        && -L*F*T + k*T < (N*F)*T
            yk = [yk F*yt(k)];
    end
end
t_yk = [0 : F*T : (N*F-1)*T];
figure; plot(t_s, st, '*'); hold on;
plot(t_yk, yk, 'r+')
```

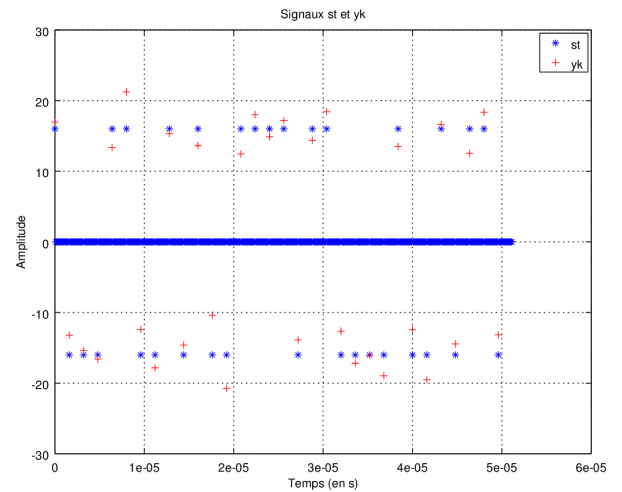


Figure 18: Signaux s_t et y_k

On vérifie grâce à la fonction `length` que le vecteur y_k obtenu est bien de la même taille que a_n , soit 32.

7. PRISE DE DÉCISION (DEMAPPING)

On choisit comme seuil σ_n (rapport avec le bruit)

```
bnF = [];
for k=1:length(yk)
    val = yk(k)/16;
    if val > 1 - 2*sigma_n
        bnF = [bnF 1];
    else
        bnF = [bnF 0];
    end
end
figure; plot(t_a, bn, '*'); hold on;
plot(t_a, bnF, 'ro');
```

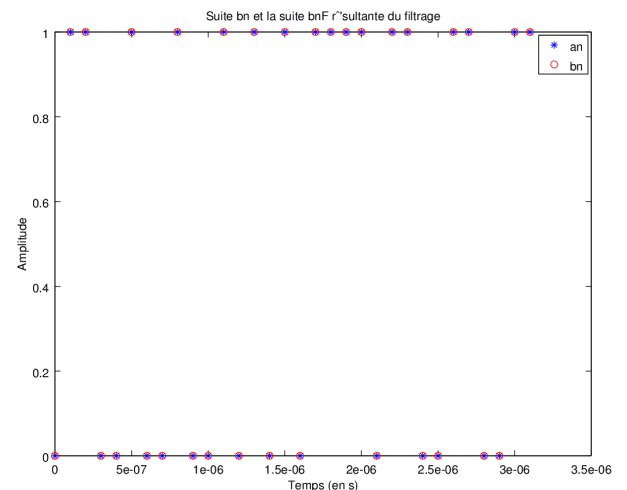


Figure 19: Signaux b_n et la suite b_nF résultante du filtrage

8. CALCUL DU TAUX D'ERREUR BINAIRE

```
sum(xor(bn, bnF))/N
```

On trouve 0.027958 (avec $N = 262144$)

9. MESURES DE PERFORMANCES

```
val_ebno = [50:200:20000];  
vect_val_pratique = [];  
for k=1:length(val_ebno)  
    vect_val_pratique =  
        [vect_val_pratique teb(2048, val_ebno(k))];  
end  
plot(val_ebno, vect_val_pratique);
```

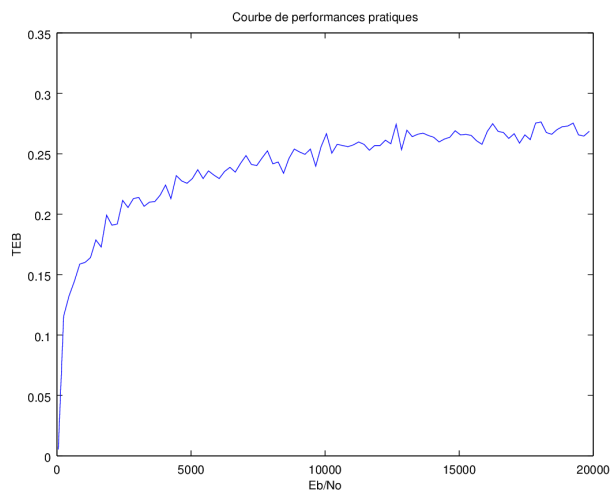


Figure 20: Courbe de performances pratiques

10. OPTIONNEL

10.1 Autres impulsions de mise en forme

10.2 Rapport signal à bruit sur la variable de décision

10.3 Analyseur de spectre

11. CONCLUSION